



Universidade Estadual de Campinas

Faculdade de Engenharia Elétrica e de Computação

IA903 – Introdução à Robótica Móvel

23 de novembro de 2024

Docente: Eric Rohmer

Discente:

– Gabriel Toffanetto França da Rocha – 289320

Exercise 4: Line-based Extended Kalman Filter for Robot Localization

Sumário

1	Transição de estados	2
2	Atualização do estado	5
2.1	Função de medição	5
2.2	Filtro	6
3	Experimento V-REP	8
	Referências	9

1 Transição de estados

Sendo o vetor de estados do robô dado por (1), e o vetor de entradas por (2), têm-se que a odometria, dado pelo modelo dinâmico incremental do sistema é dada por (3).

$$\mathbf{x}_t = \begin{bmatrix} x_t & y_t & z_t \end{bmatrix}^T \quad (1)$$

$$\mathbf{u}_t = \begin{bmatrix} \Delta s_l & \Delta s_r \end{bmatrix}^T \quad (2)$$

$$\hat{\mathbf{x}}_t = \mathbf{f}(\mathbf{x}_{t-1}, \mathbf{u}_t) = \mathbf{x}_{t-1} + \begin{bmatrix} \frac{\Delta s_r + \Delta s_l}{2} \cos \left(\theta_{t-1} + \frac{\Delta s_r - \Delta s_l}{2 \cdot l} \right) \\ \frac{\Delta s_r + \Delta s_l}{2} \sin \left(\theta_{t-1} + \frac{\Delta s_r - \Delta s_l}{2 \cdot l} \right) \\ \frac{\Delta s_r - \Delta s_l}{l} \end{bmatrix} \quad (3)$$

Realizando a derivada parcial da odometria em relação aos estados do sistema, obtém-se o jacobiano em relação aos estados, dado por (4). Fazendo o mesmo processo em relação ao vetor de entradas, obtém-se o jacobiano associado às entradas, (5), com as derivadas parciais listadas de (6) à (11).

$$\begin{aligned} \mathbf{F}_{\mathbf{x}} &= \begin{bmatrix} \frac{\partial \mathbf{f}}{\partial x} & \frac{\partial \mathbf{f}}{\partial y} & \frac{\partial \mathbf{f}}{\partial z} \end{bmatrix} = \begin{bmatrix} \frac{\partial f_x}{\partial x} & \frac{\partial f_x}{\partial y} & \frac{\partial f_x}{\partial z} \\ \frac{\partial f_y}{\partial x} & \frac{\partial f_y}{\partial y} & \frac{\partial f_y}{\partial z} \\ \frac{\partial f_z}{\partial x} & \frac{\partial f_z}{\partial y} & \frac{\partial f_z}{\partial z} \end{bmatrix} \\ &= \begin{bmatrix} 1 & 0 & \frac{\Delta s_r + \Delta s_l}{2} \sin \left(\theta_{t-1} + \frac{\Delta s_r - \Delta s_l}{2 \cdot l} \right) \\ 0 & 1 & \frac{\Delta s_r + \Delta s_l}{2} \cos \left(\theta_{t-1} + \frac{\Delta s_r - \Delta s_l}{2 \cdot l} \right) \\ 0 & 0 & 1 \end{bmatrix} \end{aligned} \quad (4)$$

$$\mathbf{F}_{\mathbf{u}} = \begin{bmatrix} \frac{\partial \mathbf{f}}{\partial \Delta s_l} & \frac{\partial \mathbf{f}}{\partial \Delta s_r} \end{bmatrix} = \begin{bmatrix} \frac{\partial f_x}{\partial \Delta s_l} & \frac{\partial f_x}{\partial \Delta s_r} \\ \frac{\partial f_y}{\partial \Delta s_l} & \frac{\partial f_y}{\partial \Delta s_r} \\ \frac{\partial f_z}{\partial \Delta s_l} & \frac{\partial f_z}{\partial \Delta s_r} \end{bmatrix} \quad (5)$$

$$\frac{\partial f_x}{\partial \Delta s_l} = \frac{1}{2} \cos \left(\theta_{t-1} + \frac{\Delta s_r - \Delta s_l}{2 \cdot l} \right) + \frac{\Delta s_r + \Delta s_l}{2 \cdot 2 \cdot l} \sin \left(\theta_{t-1} + \frac{\Delta s_r - \Delta s_l}{2 \cdot l} \right) \quad (6)$$

$$\frac{\partial f_x}{\partial \Delta s_r} = \frac{1}{2} \cos \left(\theta_{t-1} + \frac{\Delta s_r - \Delta s_l}{2 \cdot l} \right) - \frac{\Delta s_r + \Delta s_l}{2 \cdot 2 \cdot l} \sin \left(\theta_{t-1} + \frac{\Delta s_r - \Delta s_l}{2 \cdot l} \right) \quad (7)$$

$$\frac{\partial f_y}{\partial \Delta s_l} = \frac{1}{2} \sin \left(\theta_{t-1} + \frac{\Delta s_r - \Delta s_l}{2 \cdot l} \right) - \frac{\Delta s_r + \Delta s_l}{2 \cdot 2 \cdot l} \cos \left(\theta_{t-1} + \frac{\Delta s_r - \Delta s_l}{2 \cdot l} \right) \quad (8)$$

$$\frac{\partial f_y}{\partial \Delta s_r} = \frac{1}{2} \sin \left(\theta_{t-1} + \frac{\Delta s_r - \Delta s_l}{2 \cdot l} \right) + \frac{\Delta s_r + \Delta s_l}{2 \cdot 2 \cdot l} \cos \left(\theta_{t-1} + \frac{\Delta s_r - \Delta s_l}{2 \cdot l} \right) \quad (9)$$

$$\frac{\partial f_y}{\partial \Delta s_l} = -\frac{1}{l} \quad (10)$$

$$\frac{\partial f_y}{\partial \Delta s_r} = \frac{1}{l} \quad (11)$$

Aplicando a odometria pelo modelo incremental, observa-se na Figura 1 que rapidamente a posição obtida por meio da integração dos estados diverge da posição real, sendo uma informação que não confiável, sendo necessário a fusão da mesma com outros sensores para a obtenção de uma localização precisa.

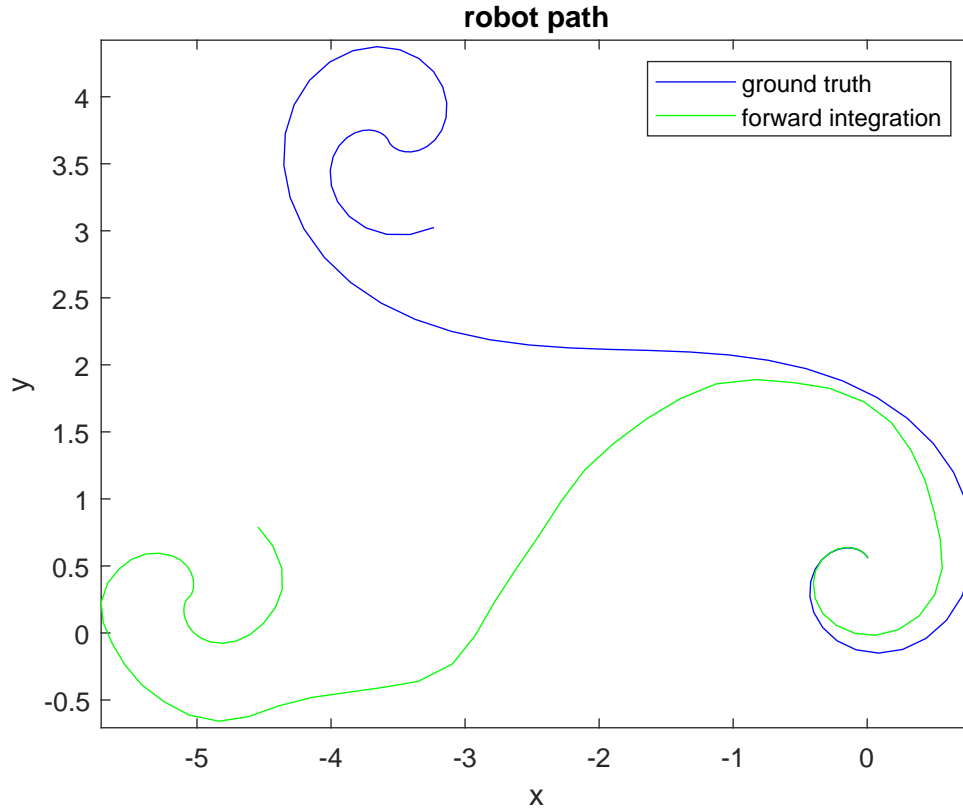


Figura 1: Caminho percorrido pelo robô × odometria obtida pela integração do modelo cinemático incremental direto.

A implementação da função de transição dos estados é dada abaixo:

```

1 function [f, F_x, F_u] = transitionFunction(x,u, l)
2 % [f, F_x, F_u] = transitionFunction(x,u,l) predicts the state x at time t
   given
3 % the state at time t-1 and the input u at time t. F_x denotes the Jacobian
4 % of the state transition function with respect to the state evaluated at
5 % the state and input provided. F_u denotes the Jacobian of the state
6 % transition function with respect to the input evaluated at the state and
7 % input provided.
8 % State and input are defined according to "Introduction to Autonomous
   Mobile Robots", pp. 337
9
10 %STARTRM
11
12 f = x + [(u(1) + u(2))/2*cos(x(3) + ((u(2)-u(1))/(2*l))]; ...
13 (u(1) + u(2))/2*sin(x(3) + ((u(2)-u(1))/(2*l))]; ...
14 (u(2) - u(1))/l ];
15
16 F_x = [1, 0, -(u(1) + u(2))/2*sin(x(3)+(u(2)-u(1))/(2*l)); ...
17 0, 1, (u(1) + u(2))/2*cos(x(3)+(u(2)-u(1))/(2*l)); ...
18 0, 0, 1];
19
20 F_u = [(cos(x(3) + (u(2)-u(1))/(2*l))/2 + (u(1) + u(2))/(2*2*l)*sin(x(3) + (
   u(2)-u(1))/(2*l))), ...
21 (cos(x(3) + (u(2)-u(1))/(2*l))/2 - (u(1) + u(2))/(2*2*l)*sin(x(3) + (u(2)-u
   (1))/(2*l))]; ...
22 (sin(x(3) + (u(2)-u(1))/(2*l))/2 - (u(1) + u(2))/(2*2*l)*cos(x(3) + (u(2)-u
   (1))/(2*l))]; ...
23 (sin(x(3) + (u(2)-u(1))/(2*l))/2 + (u(1) + u(2))/(2*2*l)*cos(x(3) + (u(2)-u
   (1))/(2*l))]; ...
24 -1/l, 1/l];
25
26
27 %ENDRM

```

2 Atualização do estado

2.1 Função de medição

$$\mathbf{h}(\hat{\mathbf{x}}_t, \mathbf{m}^j) = \begin{bmatrix} \alpha_t^j - \hat{\theta}_t \\ r_t^j - \hat{x}_t \cos(\alpha_t^j) - \hat{y}_t \sin(\alpha_t^j) \end{bmatrix} \quad (12)$$

$$\mathbf{H}^j = \begin{bmatrix} \frac{\partial \alpha_t^j}{\partial \hat{x}} & \frac{\partial \alpha_t^j}{\partial \hat{y}} & \frac{\partial \alpha_t^j}{\partial \hat{z}} \\ \frac{\partial r_t^j}{\partial \hat{x}} & \frac{\partial r_t^j}{\partial \hat{y}} & \frac{\partial r_t^j}{\partial \hat{z}} \end{bmatrix} = \begin{bmatrix} 0 & 0 & -1 \\ -\cos(\alpha_t^j) & -\sin(\alpha_t^j) & 0 \end{bmatrix} \quad (13)$$

A implementação da função de medição é dada abaixo:

```

1 function [h, H_x] = measurementFunction(x, m)
2 % [h, H_x] = measurementFunction(x, m) returns the predicted measurement
3 % given a state x and a single map entry m. H_x denotes the Jacobian of the
4 % measurement function with respect to the state evaluated at the state
5 % provided.
6 % Map entry and state are defined according to "Introduction to Autonomous
7 % Mobile Robots" pp. 337
8
9 %STARTRM
10 h = [m(1) - x(3);
11      m(2) - x(1)*cos(m(1)) - x(2)*sin(m(1))];
12
13 H_x = [0, 0, -1;
14        -cos(m(1)), -sin(m(1)), 0];
15
16 %ENDRM
17
18 [h(1), h(2), isRNegated] = normalizeLineParameters(h(1), h(2));
19
20 if isRNegated
21     H_x(2, :) = - H_x(2, :);
22 end

```

2.2 Filtro

$$\mathbf{Q} = \begin{bmatrix} k|\Delta s_r| & 0 \\ 0 & k|\Delta s_l| \end{bmatrix} \quad (14)$$

$$\hat{\mathbf{P}}_t = \mathbf{F}_x \mathbf{P} \mathbf{F}_x^T + \mathbf{F}_u \mathbf{Q} \mathbf{F}_u^T \quad (15)$$

$$\mathbf{S} = \mathbf{H} \hat{\mathbf{P}}_t \mathbf{H}^T + \mathbf{R} \quad (16)$$

$$\mathbf{K} = \hat{\mathbf{P}}_t \mathbf{H}^T \mathbf{S}^{-1} \quad (17)$$

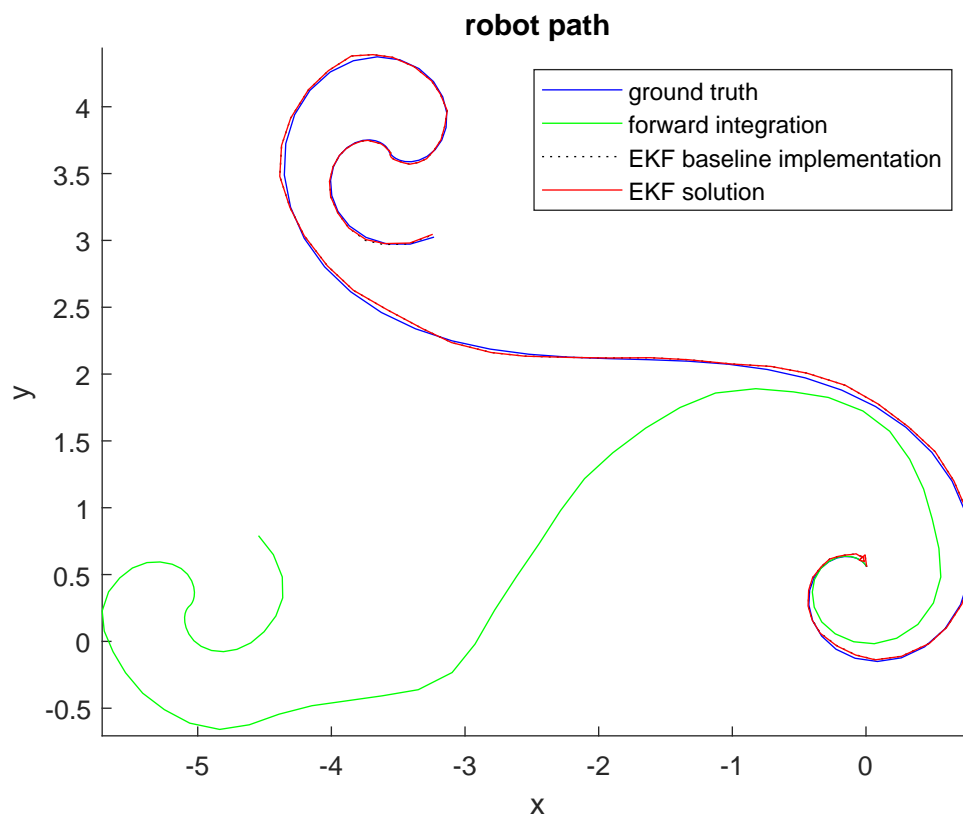


Figura 2: Correção da odometria por meio do filtro de Kalman estendido.

```

1 function [x_posteriori, P_posteriori] = filterStep(x, P, u, Z, R, M, k, g, l
    )
2 % [x_posteriori, P_posteriori] = filterStep(x, P, u, z, R, M, k, g, l)
3 % returns an a posteriori estimate of the state and its covariance
4
5 %STARTRM
6
7 % propagate the state (p. 337) , here kr=kl=k
8 Q = [k*abs(u(2)) 0; 0 k*abs(u(1))];
9

```

```
10 [x_priori, F_x, F_u] = transitionFunction(x, u, l); %hints: you just coded
    this function
11 P_priori = F_x*P*F_x' + F_u*Q*F_u';
12
13 if size(Z,2) == 0
14 x_posteriori = x_priori;
15 P_posteriori = P_priori;
16 return;
17 end
18
19 [v, H, R] = associateMeasurements(x_priori, P_priori, Z, R, M, g); %hints:
    you just coded this function
20
21 y = reshape(v, [], 1);
22 H = reshape(permute(H, [1,3,2]), [], 3);
23 R = blockDiagonal(R);
24
25 % update state estimates (pp. 335)
26 S = H*P_priori*H'+R; %S is the innovation covariance matrix
27 K = P_priori*H'/S;
28
29 x_posteriori = x_priori + K * y;
30 P_posteriori = (eye(size(P_priori)) - K*H) * P_priori;
31
32 %ENDRM
```

3 Experimento V-REP

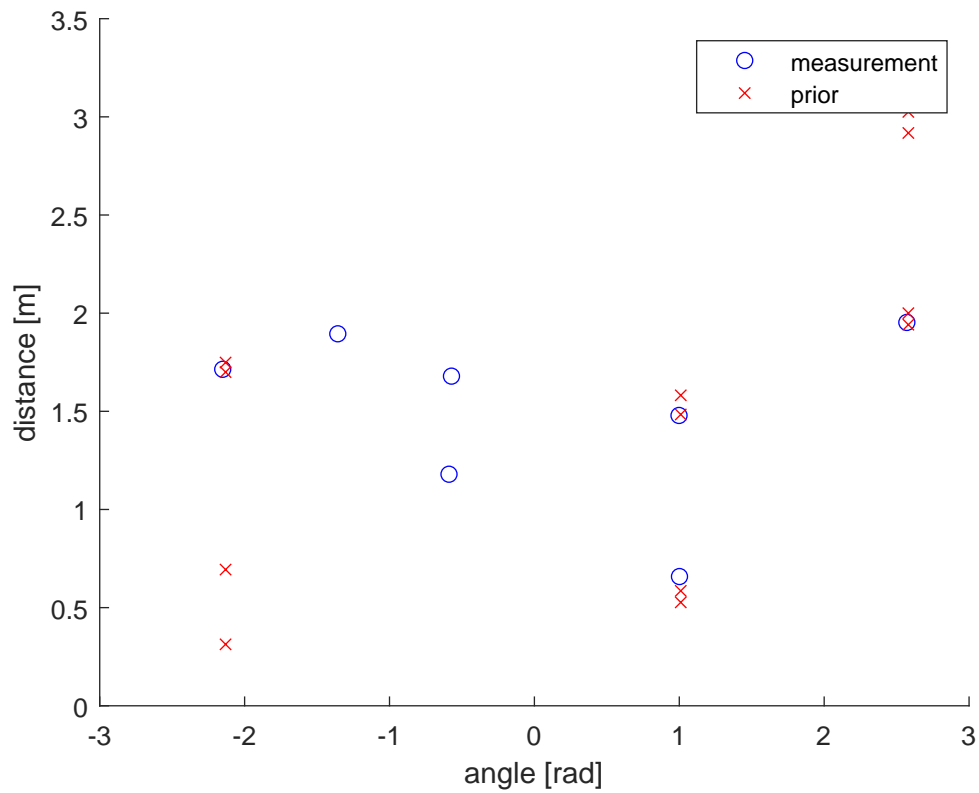


Figura 3: Representação das retas do mapa (prior) e as retas obtidas pelo LiDAR no espaço de Hough.

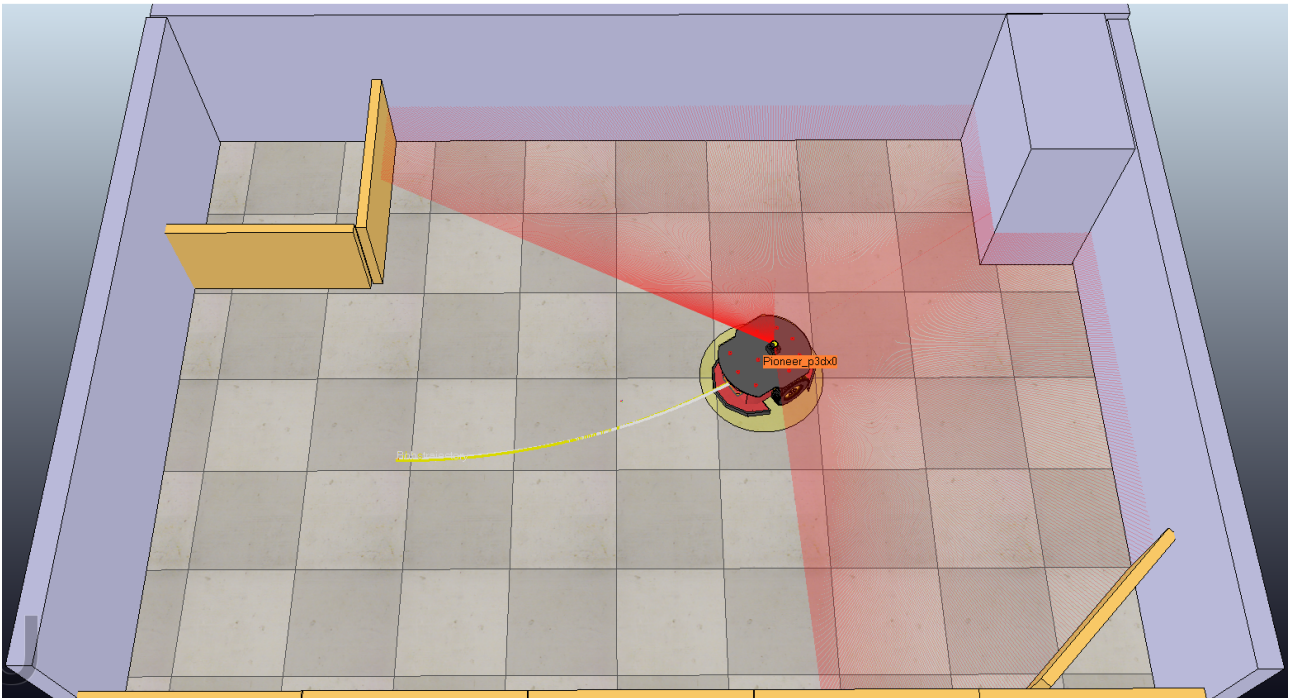


Figura 4: Estado final do robô na simulação.

Referências

SIEGWART, R.; NOURBAKHSH, I. *Introduction to Autonomous Mobile Robots*. [S.l.]: Bradford Book, 2004. (A Bradford book). ISBN 9780262195027.